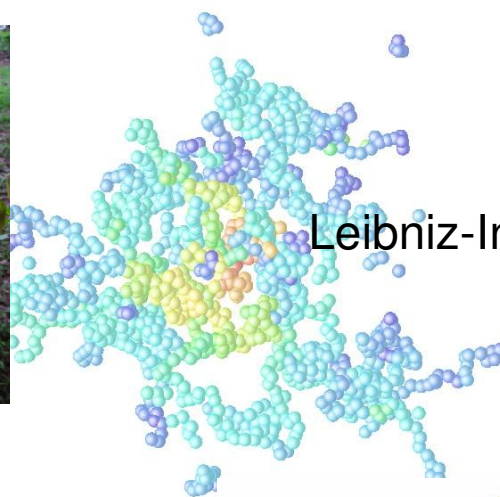


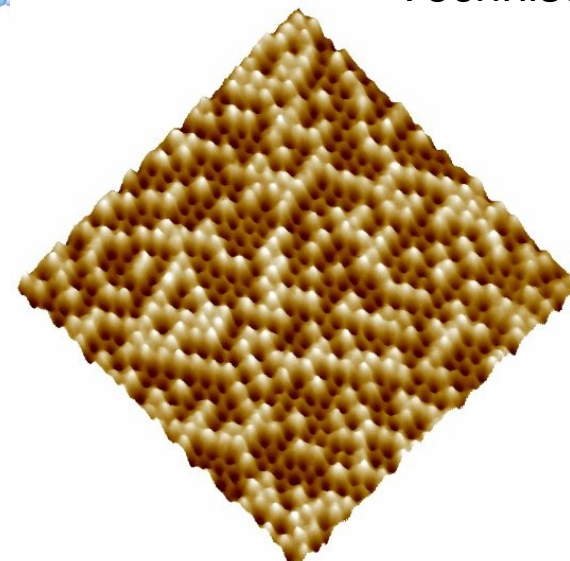
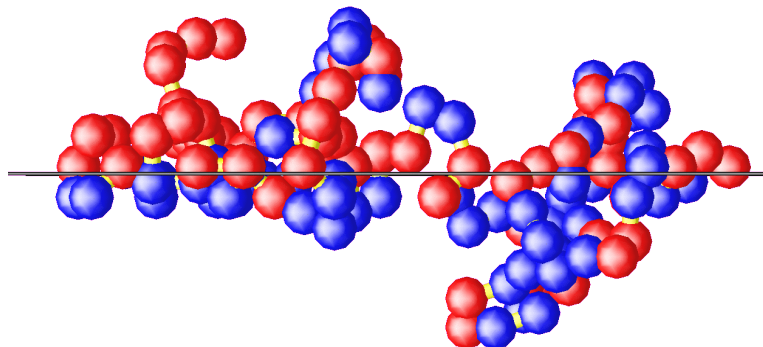
Eine kurze Geschichte der Polymerphysik von Naturkautschuk zu Nanostrukturen



Jens-Uwe Sommer

Leibniz-Institut für Polymerforschung Dresden
Hohe Straße 6

Institut für Theoretische Physik
Technische Universität Dresden
Zellescher Weg 17



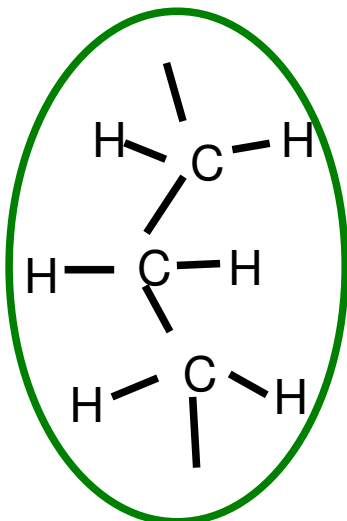


Charles Goodyear (1800 - 1860)

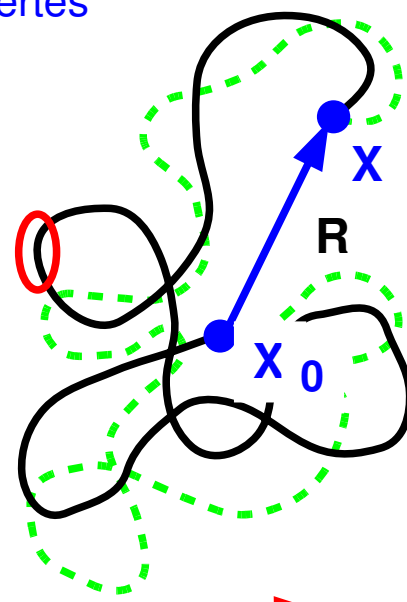


Hermann Staudinger (1881 - 1965)

Konformationsentropie eines Polymers



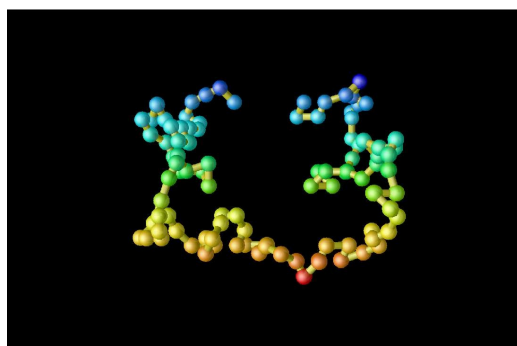
Vergröbertes
Bild



Viele Konformationsalternativen
ohne Energieaufwand

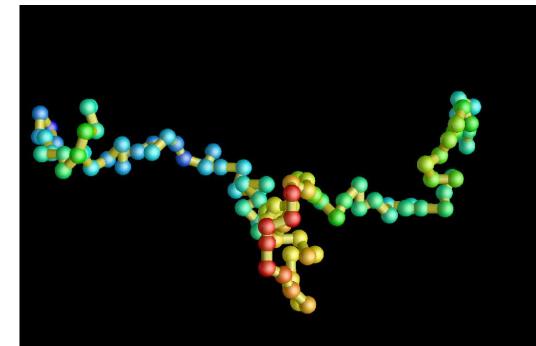
$$S = k \ln (\sum \text{Wege})$$

effektive
Segmentlänge l



Entropie wird reduziert

$$f = -T \nabla S(x)$$



Einfachstes Modell: Unkorrelierte Segmentorientierungen

$$\langle \vec{l}_k \vec{l}_m \rangle = l^2 \delta_{km} \rightarrow \langle \vec{R}^2 \rangle = l^2 N \quad (\text{Gauß-Knäuel}) \quad \text{allgemein: } R \sim N^\nu$$

Zustandssumme und Schrödingergleichung

Was ist die Zustandssumme eines Kettenmoleküls?



Sir Sam F. Edwards

$$Z(\mathbf{x}, \mathbf{x}_0; N) = \int_{\text{Pfade}} \exp \left\{ -\frac{1}{kT} \int_0^N ds V(\mathbf{r}(s)) \right\}$$

Wechselwirkungen

$$Z = \int D[\mathbf{r}(s)] \exp \left\{ -\frac{d}{2l^2} \int_0^N ds \left(\frac{d\mathbf{r}}{ds} \right)^2 - \frac{1}{kT} \int_0^N ds V(\mathbf{r}(s)) \right\}$$

Segmentlänge

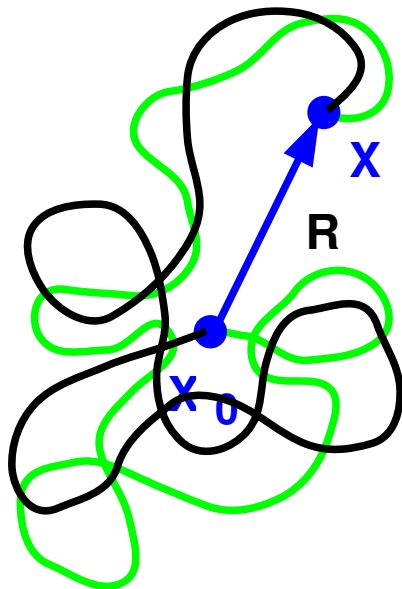
Kettenzusammenhang (harmonisch)

(Feynmann)

Differentialgleichung für die Zustandssumme

$$\frac{\partial}{\partial N} Z(\mathbf{x}, \mathbf{x}_0; N) = \frac{l^2}{2d} \Delta_x Z(\mathbf{x}, \mathbf{x}_0; N) - \frac{1}{kT} V(\mathbf{x}) \cdot Z(\mathbf{x}, \mathbf{x}_0; N)$$

$$\frac{\partial}{\partial N} Z(\mathbf{x}, \mathbf{x}_0; N) = \frac{l^2}{2d} \nabla_{\mathbf{x}} Z(\mathbf{x}, \mathbf{x}_0; N) - \frac{V(\mathbf{x}, s)}{kT} \cdot Z(\mathbf{x}, \mathbf{x}_0; N)$$

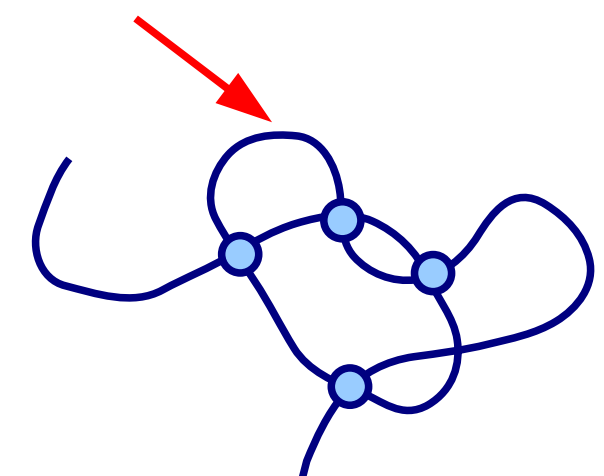
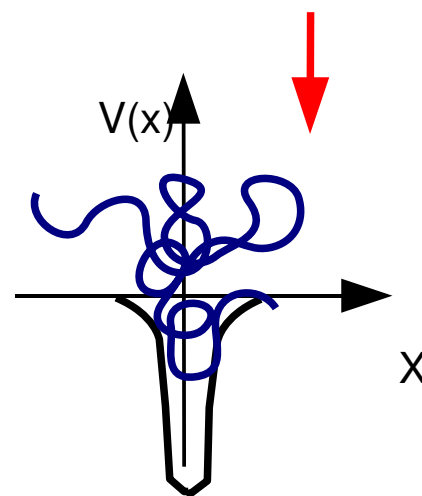
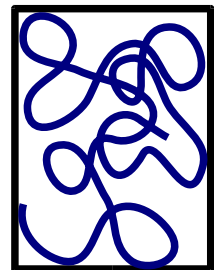


Homopolymer:

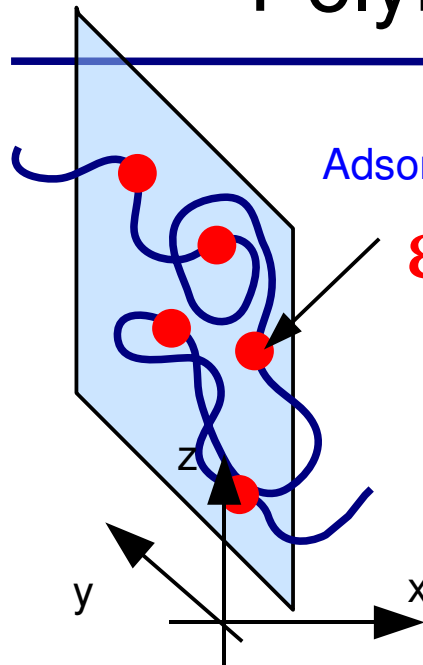
$$V(\mathbf{x}, s) = V(\mathbf{x}) \rightarrow Z = \sum_q \exp\{-\lambda_q N\} \varphi_q(\mathbf{x}) \varphi_q(\mathbf{x}_0)$$

Ground State Dominance (GSD)

$$\frac{l^2}{2d} \Delta \varphi_q - \frac{1}{kT} V \varphi_q = \lambda_q \varphi_q$$



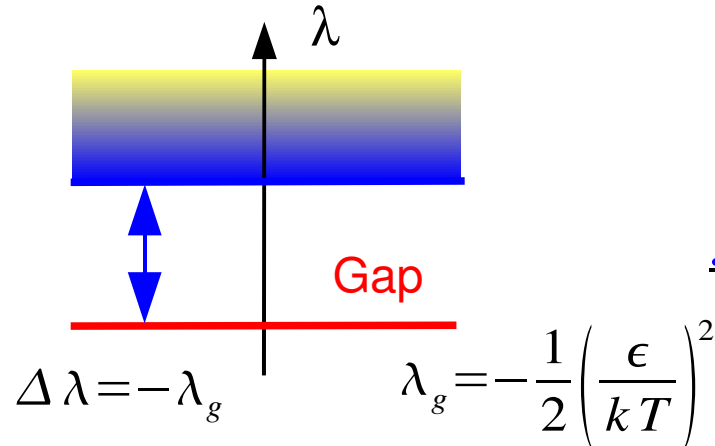
Polymere an Grenzflächen - Lokalisation



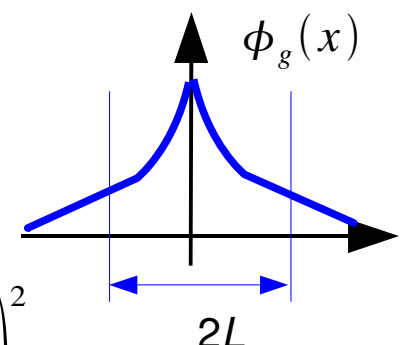
$$V(x) = -\epsilon l \delta(x)$$

Adsorptionsübergang:

Adsorptionsenergie pro Monomer



Lokalisationslänge



$$L = \frac{k T l_x}{\epsilon}$$

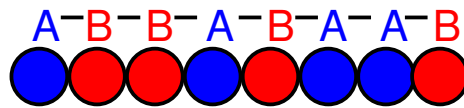
GSD für $y = \Delta \lambda N \gg 1$

$$Z = \sum_q \exp\{-\lambda_q N\} \varphi_q(\mathbf{x}) \varphi_q(\mathbf{x}_0)$$

$$\epsilon N^{1/2} \simeq kT$$

Freie Energie in GSD: $F \simeq N k T \lambda_g$

Kopolymere und Paulsche Fallen



$$\frac{\partial}{\partial s} Z = \frac{l^2}{2d} \Delta_x Z - V(x, s) \cdot Z$$

$\eta(s)$ - Konfigurationsfunktion ± 1

$$\eta(s) = \eta(s-b)$$

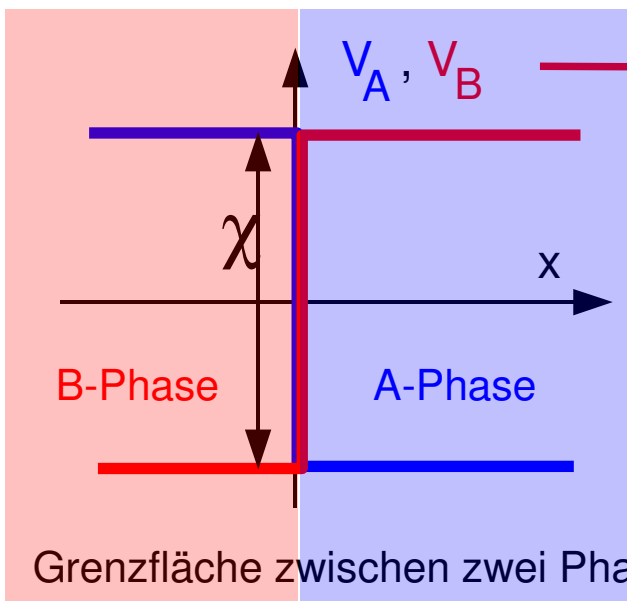
$$[\eta(s)\eta(t)] = \delta(s, t)$$



Alternierendes Kopolymer

Zufälliges Kopolymer

Paulsche Falle



$$V(x, s) = \eta(s) \cdot \chi \cdot T(x)$$

Renormierung:
Homopolymer aus Diblöcken

Störungsrechnung

$$\epsilon \sim -\chi^2 b^2$$

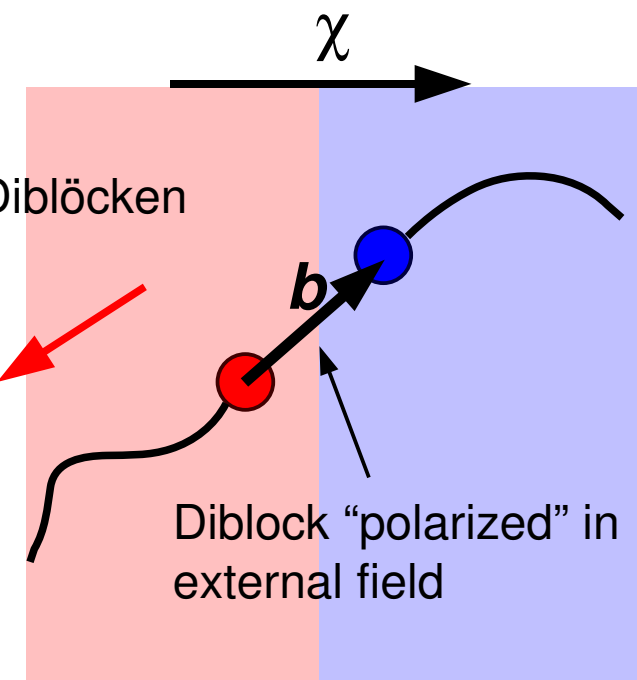
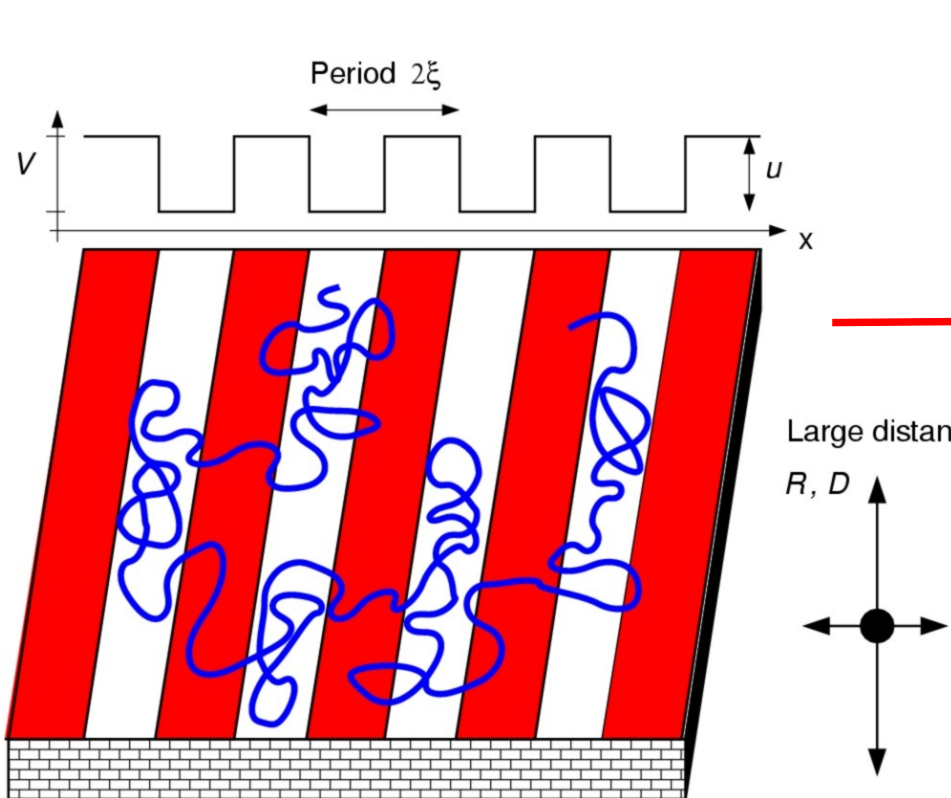


Abbildung auf Problem der Adsorption
an durchdringbaren Grenzflächen

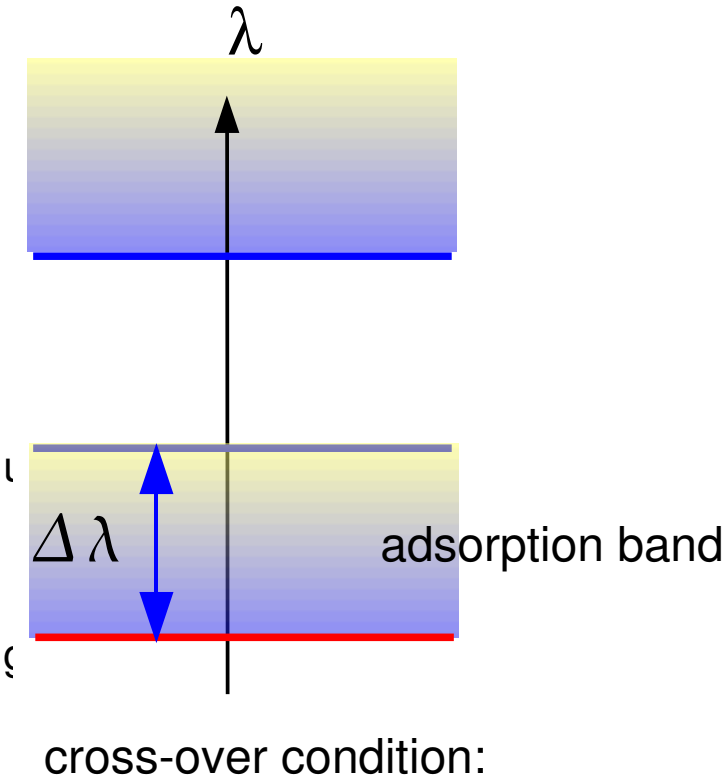
Polymers in nano-structured environments



(Copolymers adsorb at Interfaces)

$$V(x) = -\sum_k \epsilon_l \delta(x - k\xi)$$

$$kT = 1$$



$$N \Delta \lambda \ll 1$$

Chain is localized in
in one trap

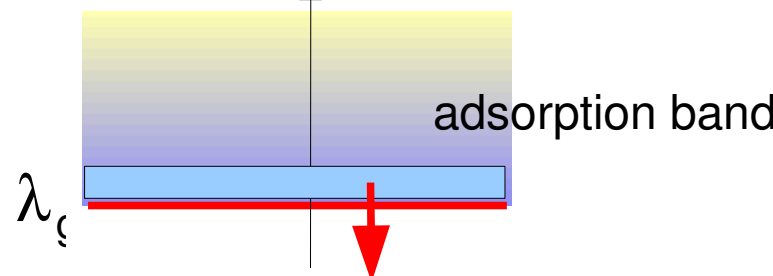
$$N \Delta \lambda \gg 1$$

Chain bridges
many traps

Effective chain properties

$$N \Delta \lambda \gg 1$$

Chain bridges
many traps



Analogy

$$1/l_{eff}^2$$

effective mass of a
Schrödinger particle

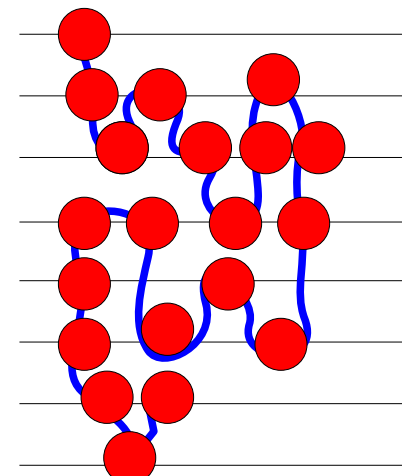
$$m_{eff}$$

Expansion of the dispersion relation for: $\lambda \simeq \lambda_g$

$$G(x, x'; N) \simeq (2\pi l_{eff}^2 N)^{-1/2} \exp\left\{-\frac{1}{2l_{eff}^2}(x - x')^2\right\}$$

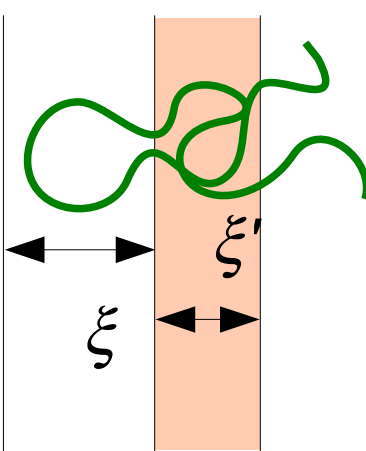
with the effective statistical segment length:

$$\left(\frac{l_{eff}}{l}\right)^2 = \begin{cases} \frac{1}{2}(\epsilon \xi)^2 \exp(-\epsilon \xi/2) & \epsilon \xi \gg 1 \\ 1 & \epsilon \xi \ll 1 \end{cases}$$



Scaling variable: $E = \epsilon \xi / l$

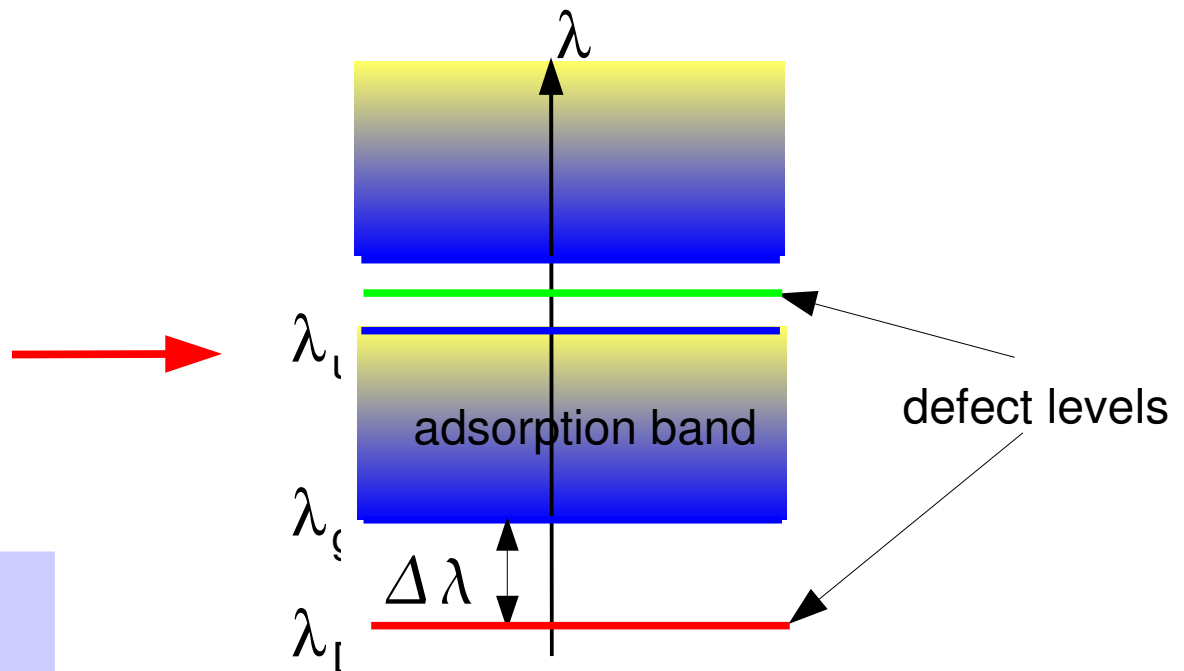
Defects and Localization



Localization length L :

$$L/\xi \simeq \frac{2}{\Delta \xi \cdot \epsilon}$$

for $\Delta \xi \epsilon \ll 1$



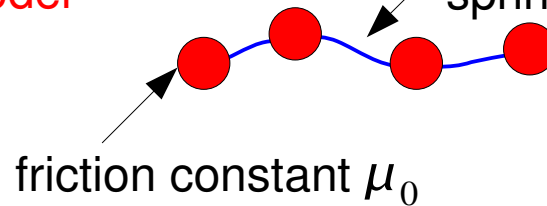
localization condition: $L^2 \simeq N_L l_{eff}^2$

$$N_L \xrightarrow{\epsilon \xi \ll 1} \frac{1}{2(\epsilon \Delta \xi)^2}$$

$$N_L \xrightarrow{\epsilon \xi \gg 1} \frac{8}{(\epsilon \Delta \xi)^2} \frac{1}{\xi^2 \epsilon^2} \exp(\epsilon \xi / 2)$$

Dynamics

Bead-spring-model



$$\text{spring constant } k_0 = \frac{3kT}{l^2}$$

Langevin equation of motion

$$\mu_0 \frac{dx_k}{dt} + k_0 M_{kl} x_l = \xi_k$$

Exactly solvable problem!

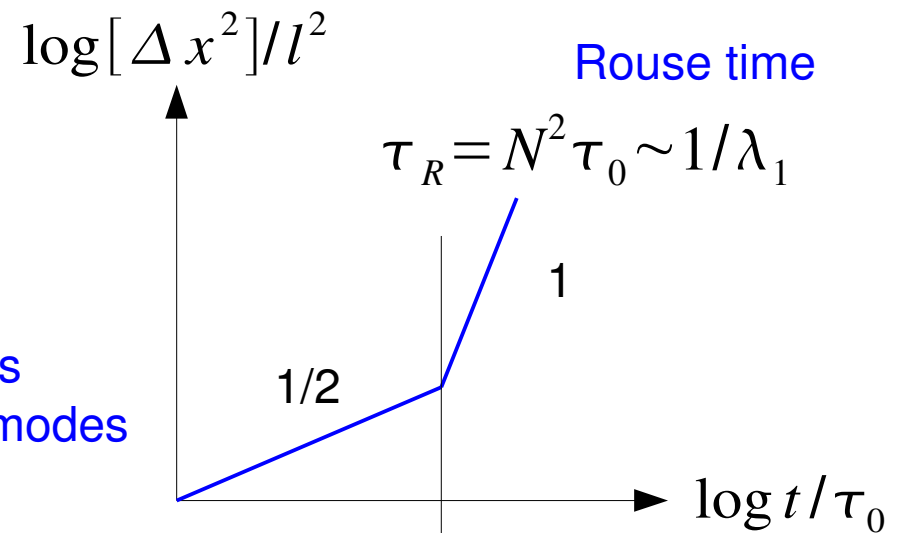
Connectivity (Rouse) matrix:

$$M = \begin{pmatrix} 1 & -1 & 0 & 0 \\ -1 & 2 & -1 & 0 \\ 0 & -1 & 2 & -1 \\ 0 & 0 & -1 & 1 \end{pmatrix}$$

Average mean square displacement of all monomers

$$[\Delta x^2] = \frac{2l^2}{N} \operatorname{Tr} \frac{1}{M} \left(1 - e^{-Mt/\tau_0} \right)$$

$$\tau_0 = \frac{k_0}{\mu_0}$$

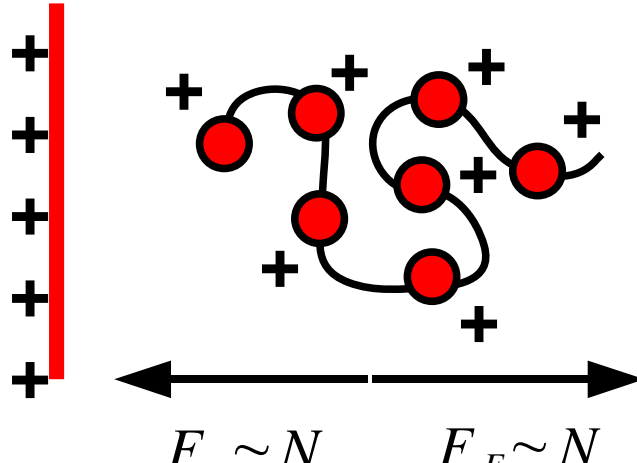


But:

Boundary conditions/inhomogeneous potentials
lead to coupling of the coordinates and eigen-modes

Dynamics in nano-structured arrays

Homogeneously charged chain in external field



drift velocity does **not** depend on N

Chain diffusion in homogeneous space

$$\mu_0 \frac{dx_k}{dt} + M_{kl} x_l = \xi_k$$

internal forces only: $\sum_k M_{kl} = 0$

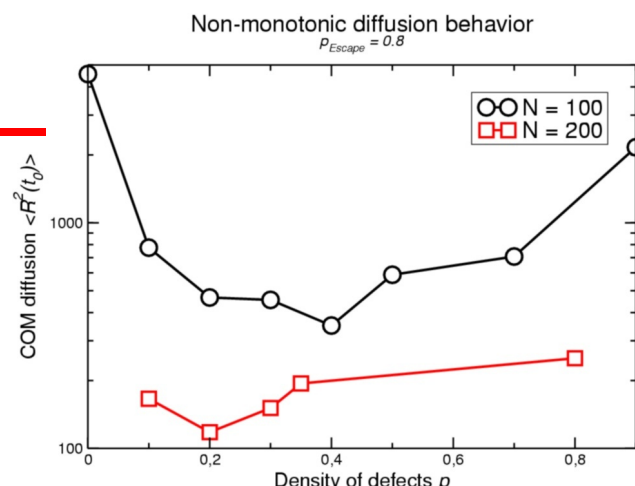
Center of mass:

$$S = \sum_k \frac{x_k}{N}$$

$$D_S = \frac{D_0}{N}$$

$$\mu_S = \mu_0 N$$

Computer simulation of chain diffusion in disordered nano-arrays:



$\mu_S(N)$
non-linear?

Equation to be solved:

$$\mu_0 \frac{dx_k}{dt} + M_{kl} x_l = \xi_k + f_k(x_k)$$

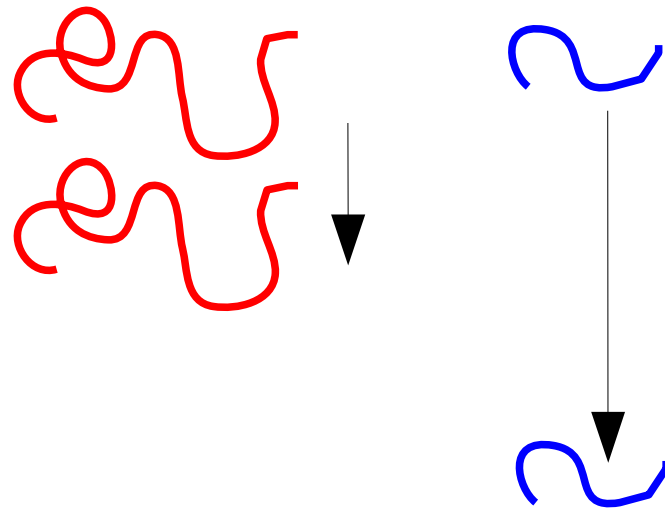
Example: $f_k(x_k) = A \sin(q x_k)$

Electrophoresis in 1D Defect Structures

Non-linear molecular friction

$$\mu_s(N)$$

+
distribution of chain lengths $P(N)$

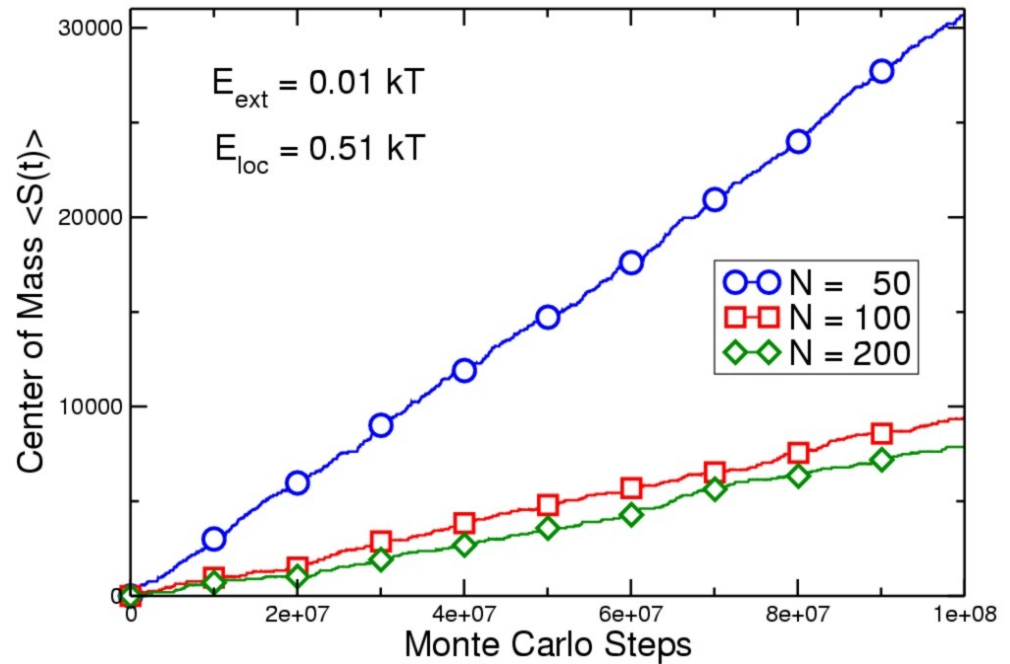


typical Displacement Pattern after time t
“Finger print” of $P(N)$

Electrophoretic Effect

Monte Carlo simulation (1D BFM)
regular distributed traps

Dragging Chains in External Fields over Adsorbing Defects
 $\xi = 64$



Zusammenfassung

Polymersysteme zeigen universelle Eigenschaften – Einzelne Moleküle können als kleine thermodynamische Objekte betrachtet werden (Konformationsentropie)

Die mathematische Beschreibung führt auf Analogien in der Quantenmechanik und in der statistischen Feldtheorie

Dynamische Beschreibung von Polymerketten führt auf stochastische DGL's.
Randbedingungen und inhomogene Potentiale führen zu nichtlinearen Problemen - mit vielen Anwendungsbereichen.